



HAL
open science

Les ingrédients protéiques laitiers : impact de leur origine et de leur transformation sur la structure et la digestion de matrices complexes telles que les formules infantiles

Lucile Chauvet, Olivia Ménard, Yann Le Gouar, Julien Jardin, Marie Henriet, Thomas Croguennec, Marieke van Audenhaege, Didier Dupont, Marion Lemaire, Isabelle Luron Le Huërou-Luron, et al.

► **To cite this version:**

Lucile Chauvet, Olivia Ménard, Yann Le Gouar, Julien Jardin, Marie Henriet, et al.. Les ingrédients protéiques laitiers : impact de leur origine et de leur transformation sur la structure et la digestion de matrices complexes telles que les formules infantiles. Glande mammaire lait / Glactinnov, INRAE ; Galactinnov; L'institut agro Rennes Angers, Nov 2022, Rennes, France. hal-03853620

HAL Id: hal-03853620

<https://hal.inrae.fr/hal-03853620>

Submitted on 15 Nov 2022

HAL is a multi-disciplinary open access archive for the deposit and dissemination of scientific research documents, whether they are published or not. The documents may come from teaching and research institutions in France or abroad, or from public or private research centers.

L'archive ouverte pluridisciplinaire **HAL**, est destinée au dépôt et à la diffusion de documents scientifiques de niveau recherche, publiés ou non, émanant des établissements d'enseignement et de recherche français ou étrangers, des laboratoires publics ou privés.



Distributed under a Creative Commons Attribution - NonCommercial - NoDerivatives 4.0 International License



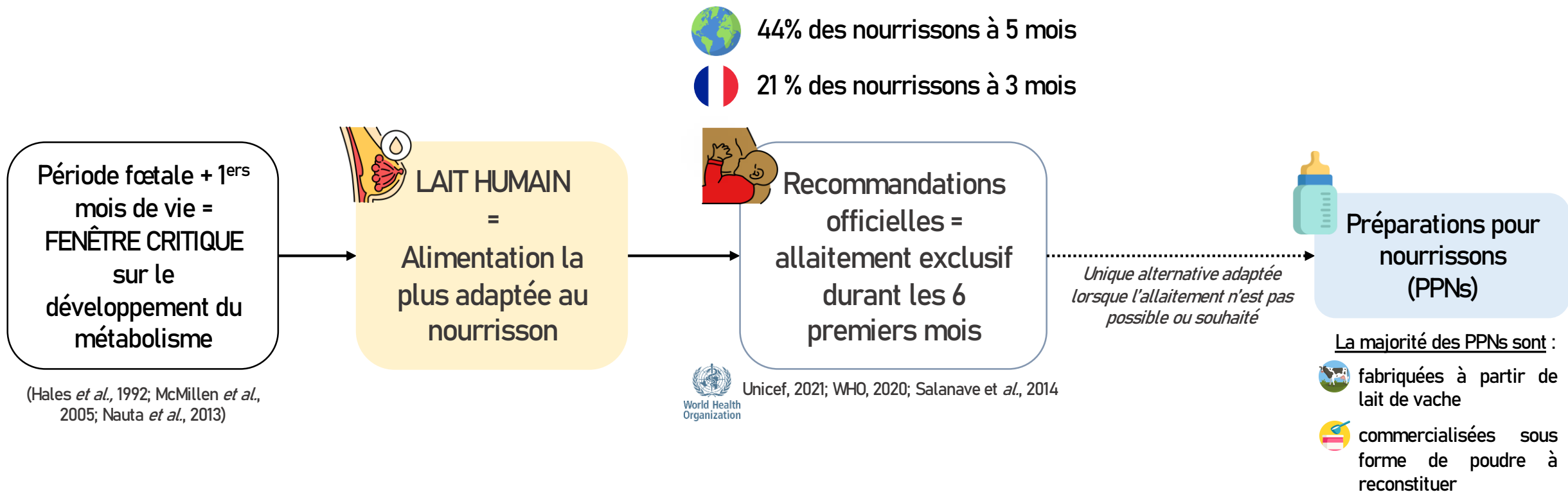
Les ingrédients protéiques laitiers : impact de leur origine et de leur transformation sur la structure et la digestion de matrices complexes telles que les préparations pour nourrissons

THÈSE CIFRE – FENOMEN

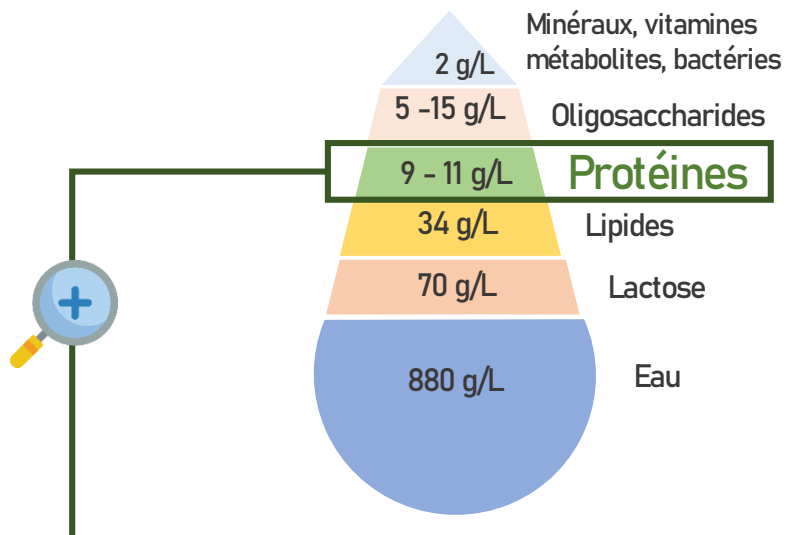
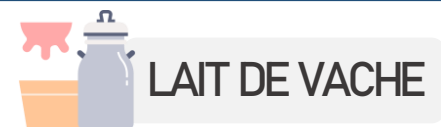
« Glande mammaire, lait », Galactinov 2022

07 / 11 / 2022

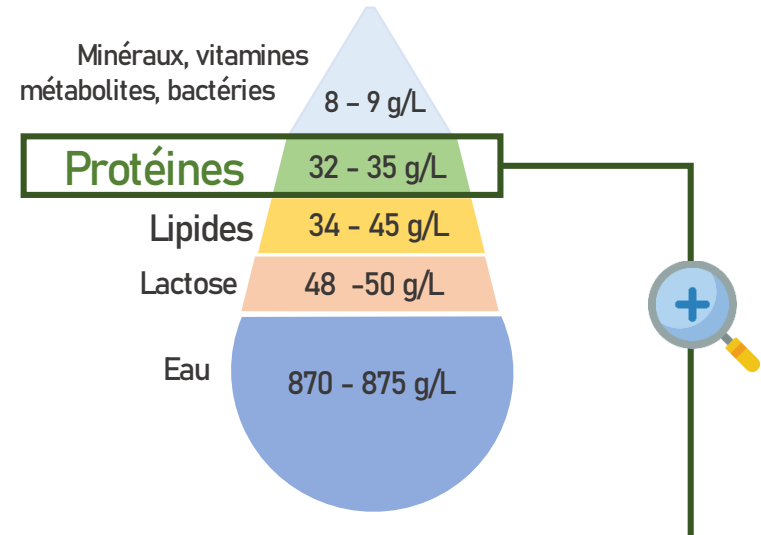
CONTEXTE ET OBJECTIFS



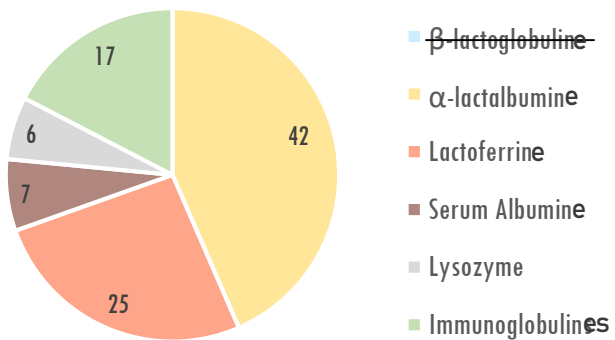
CONTEXTE ET OBJECTIFS



≠
Composition et structure

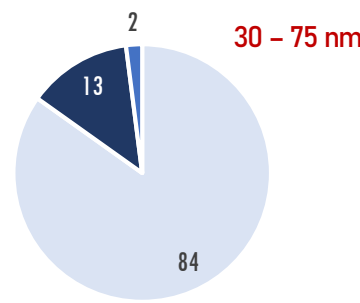


Protéines du lactosérum (60 %)



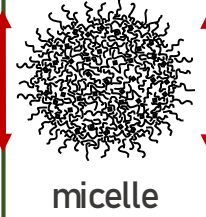
% protéines du lactosérum (PS) totales

Caséines (40 %)

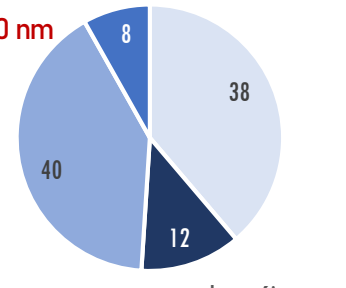


% caséines totales

30 - 75 nm



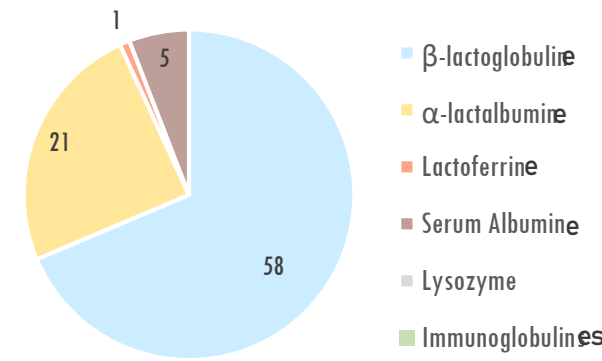
Caséines (80 %)



% caséines totales

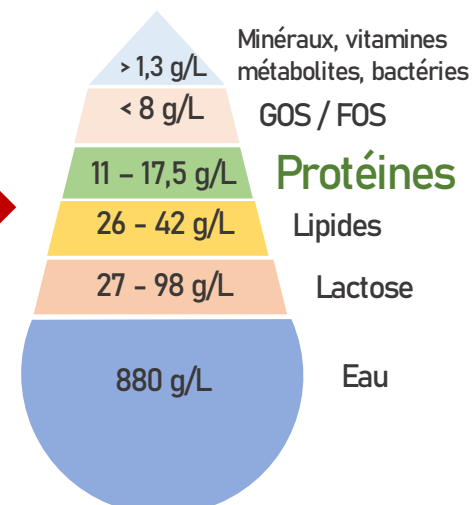
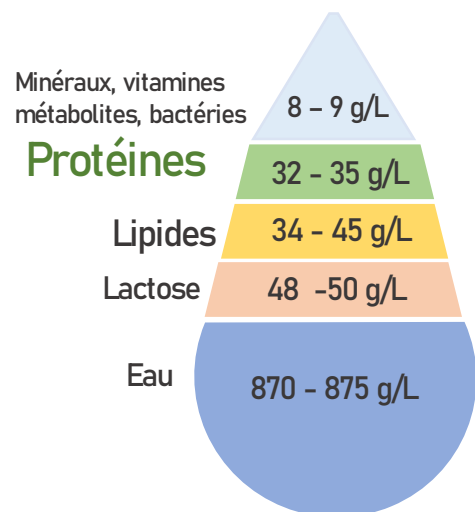
130 - 160 nm

(20%) Protéines du lactosérum



% PS totales

CONTEXTE ET OBJECTIFS



Quel est l'impact de l'origine et la transformation des
ingrédients protéiques laitiers sur la structure et la
digestion de PPNs

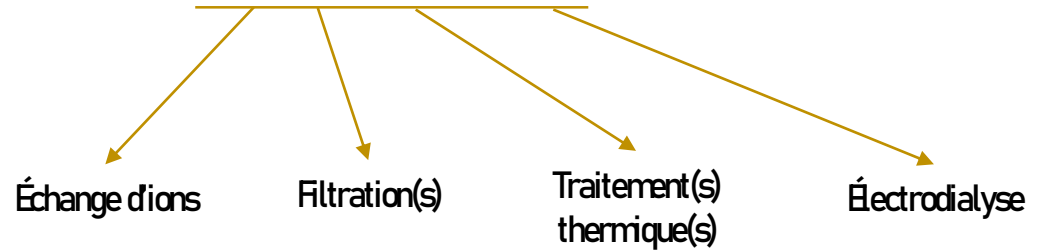
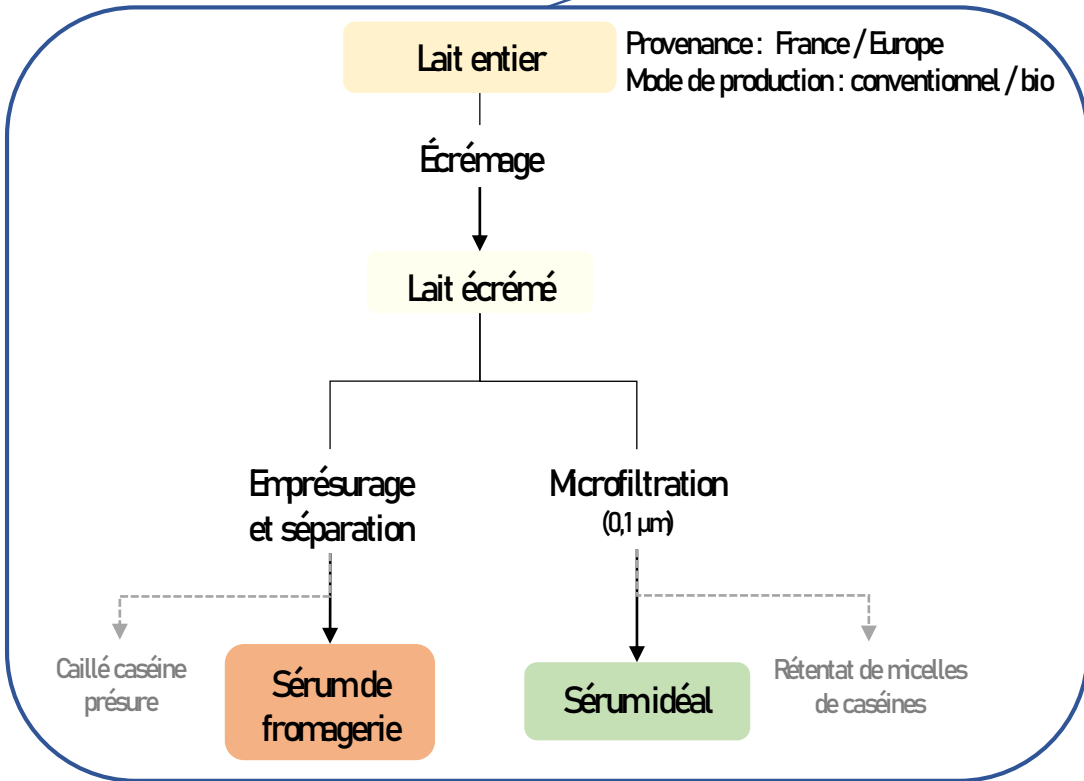
Structure des protéines \pm modifiée
(dénaturation, glycation, agrégation, etc.)

Structure de l'émulsion différente ?
Processus digestif différent ?
(coagulation, accessibilité enzymes, etc.)

LES INGRÉDIENTS PROTÉIQUES LAITIERS

Sélection d'ingrédients sériques commerciaux compatibles avec la fabrication de PPNs

↳ Qui diffèrent selon leur **matière première** et/ou leur **procédé d'obtention**



LES INGRÉDIENTS PROTÉIQUES LAITIERS

Sélection d'ingrédients sériques commerciaux compatibles avec la fabrication de PPNs

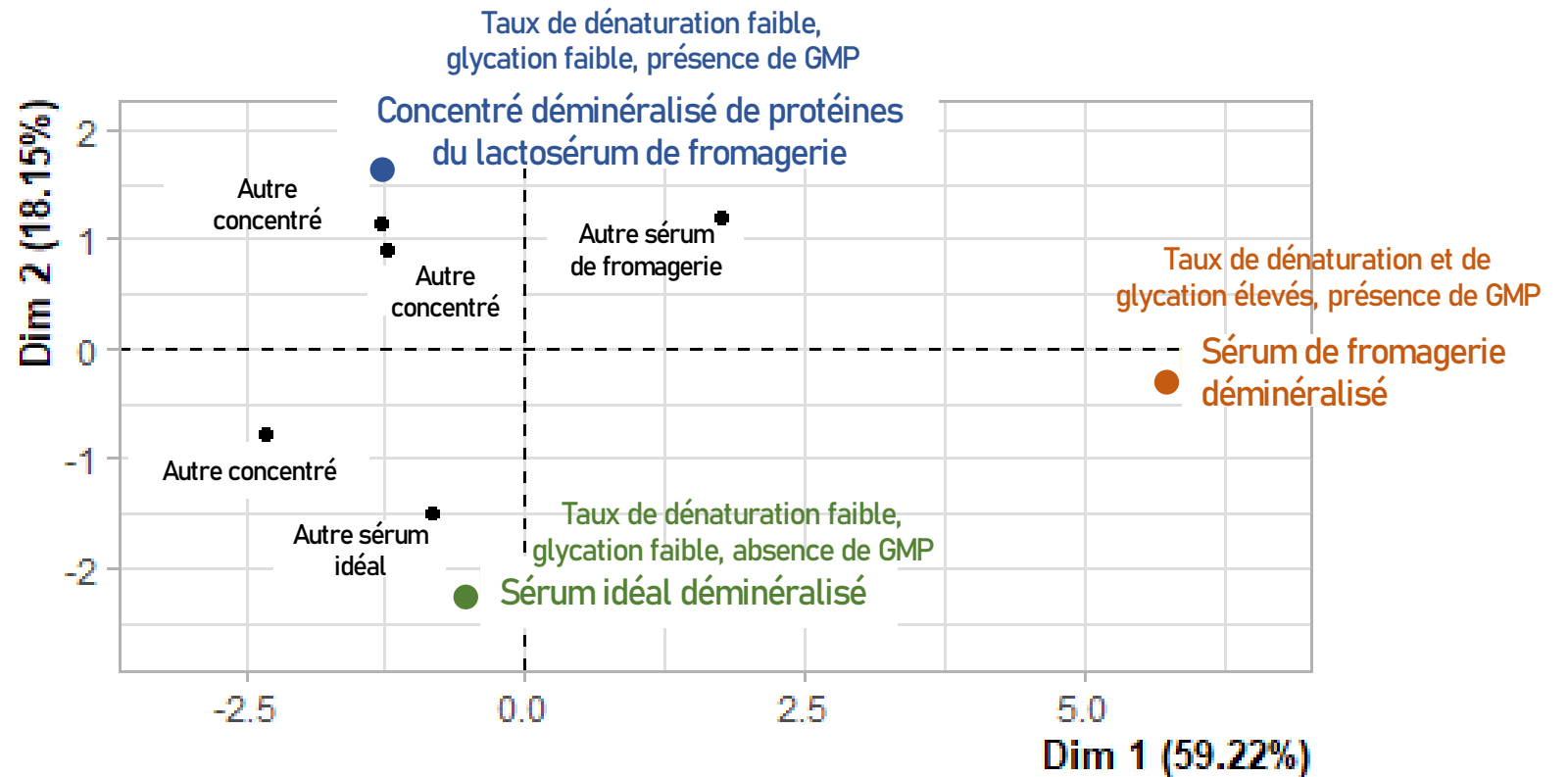
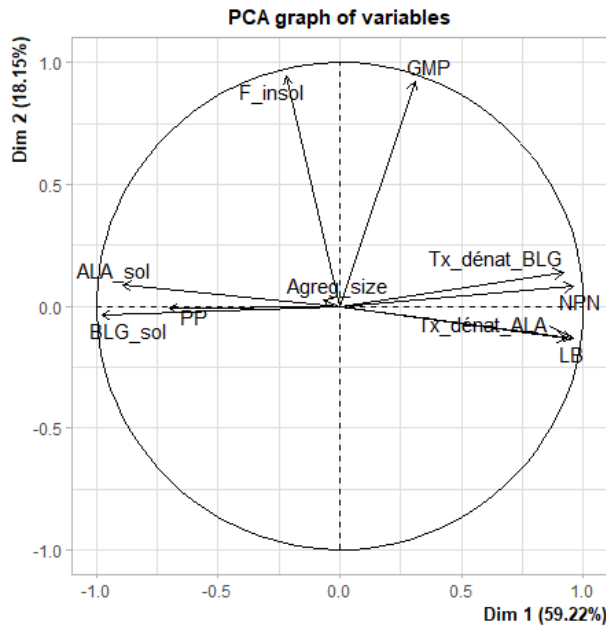
↳ Caractérisations à l'échelle moléculaire

Composition de la matière azotée et de la fraction protéique

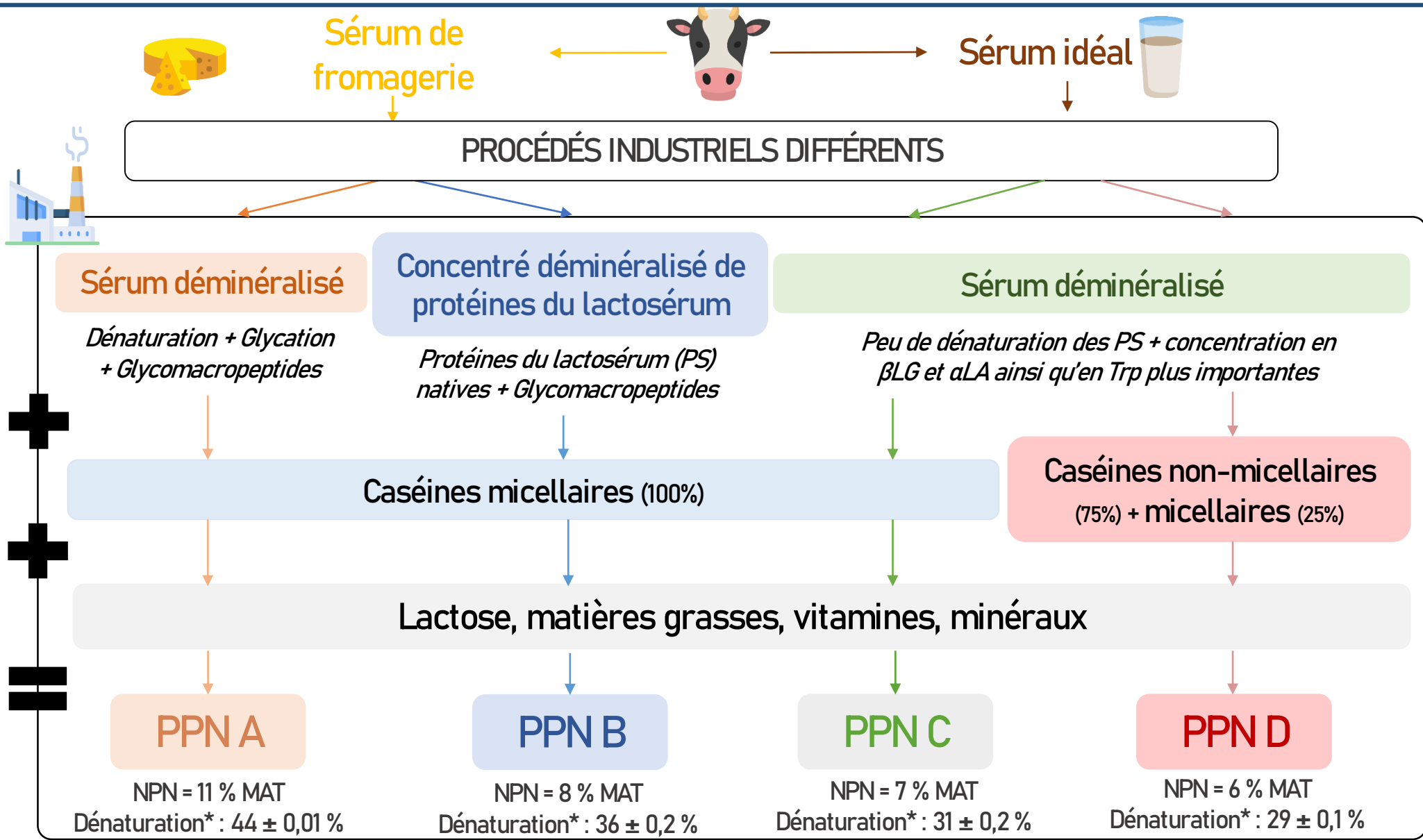
Dénaturation des protéines

Agrégation des protéines

Glycation des protéines



FABRICATION DES PPNs

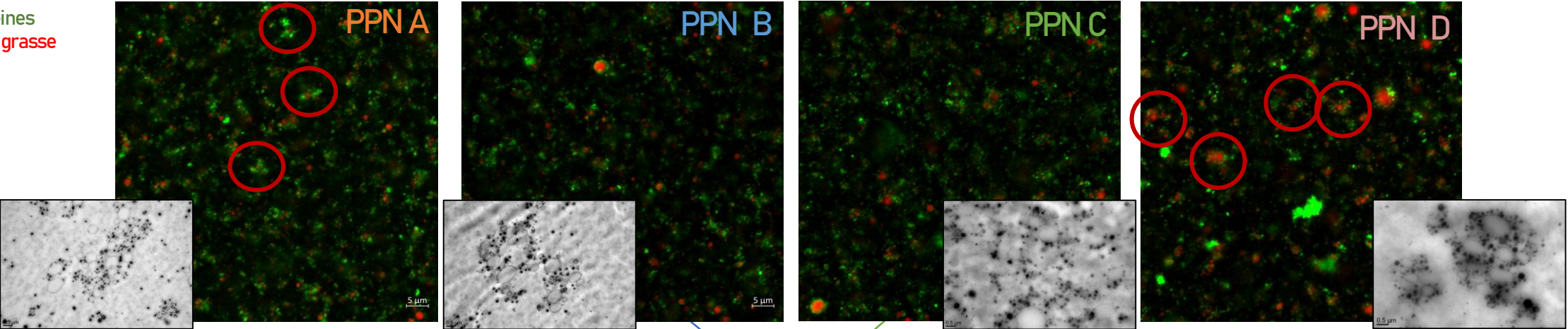


Ingrédients commerciaux et procédé de fabrication des formules représentatif des procédés industriels.

*Taux de dénaturation = $100 - \frac{(\text{Azote soluble à pH 4,6}) - (\text{Azote non protéique})}{(\text{Azote total}) - (\text{Azote non protéique})} \times \text{Proportion de protéines du lactosérum}$ = $100 - \frac{\text{Protéines du lactosérum non dénaturées ou agrégées de manière irréversibles}}{\text{Protéines du lactosérum totales}}$

CARACTÉRISATION DE LA STRUCTURE DES PPNs

Protéines
Matière grasse



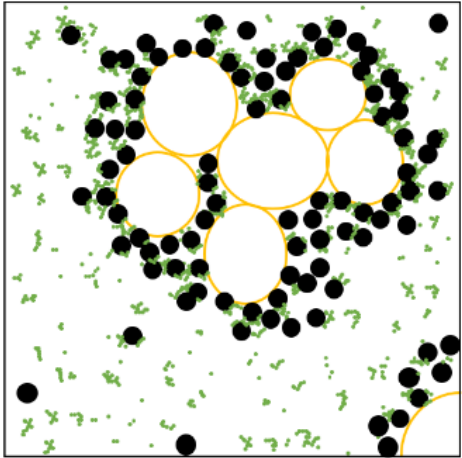
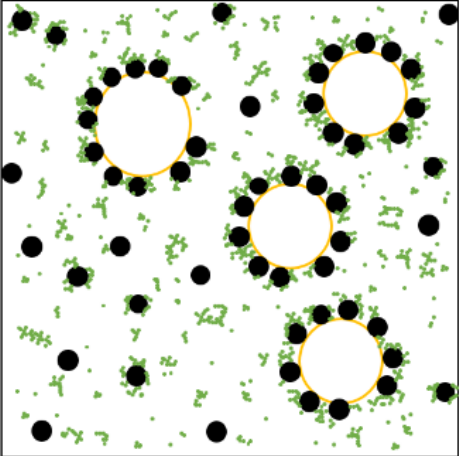
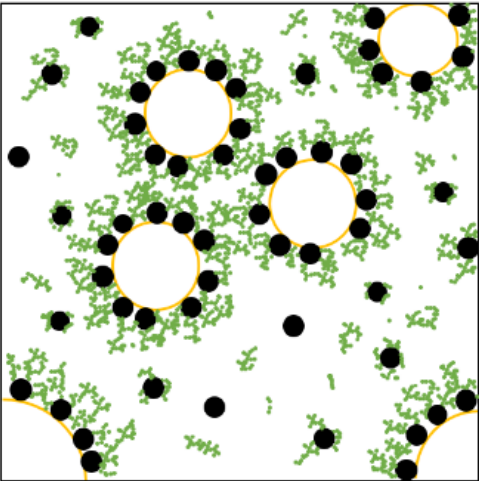
Structures lipoprotéiques étoilées avec un rayon de giration supérieur à celui des PPNs B et C




Larges structures lipoprotéiques

↓
Agrégats protéiques thermo-induits à l'interface des caséines adsorbées à la surface des gouttelettes de matière grasse (MG)

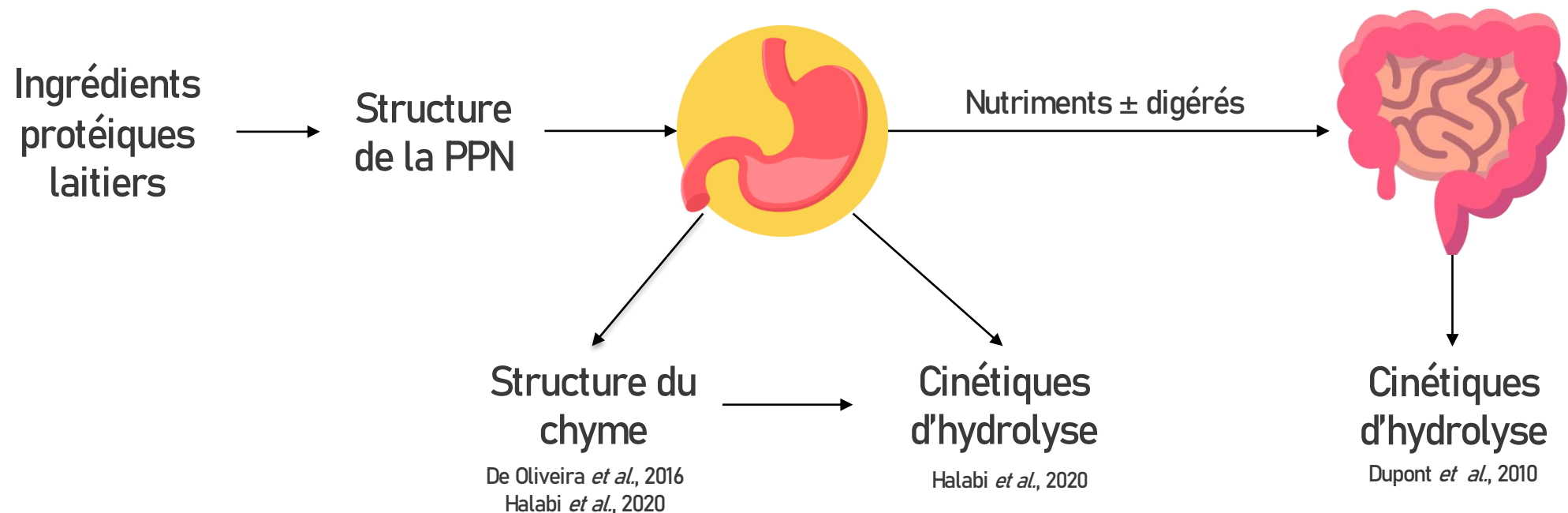
PPNs B & C
Structures similaires
Pas de forme ou taille particulières

↓
Agrégation des caséines non micellaires (lors de l'ajout de CaCl₂ lors du remouillage) et floculation partielle des globules gras (par manque de protéines disponibles pour les stabiliser) (Srinivasan *et al.*, 1996; Ye and Singh, 2001)



-  Agrégat de PS
-  Caséines
-  Gouttelettes de MG

QUESTIONS DE RECHERCHE



Quel impact la structure des PPNs a-t-elle sur la coagulation gastrique ?

- La présence de structures caséiques modifiées au sein d'une matrice complexe modifie-t-elle la coagulation gastrique comme cela a été démontré sur des matrices moins complexes (Wang *et al.*, 2018) ?

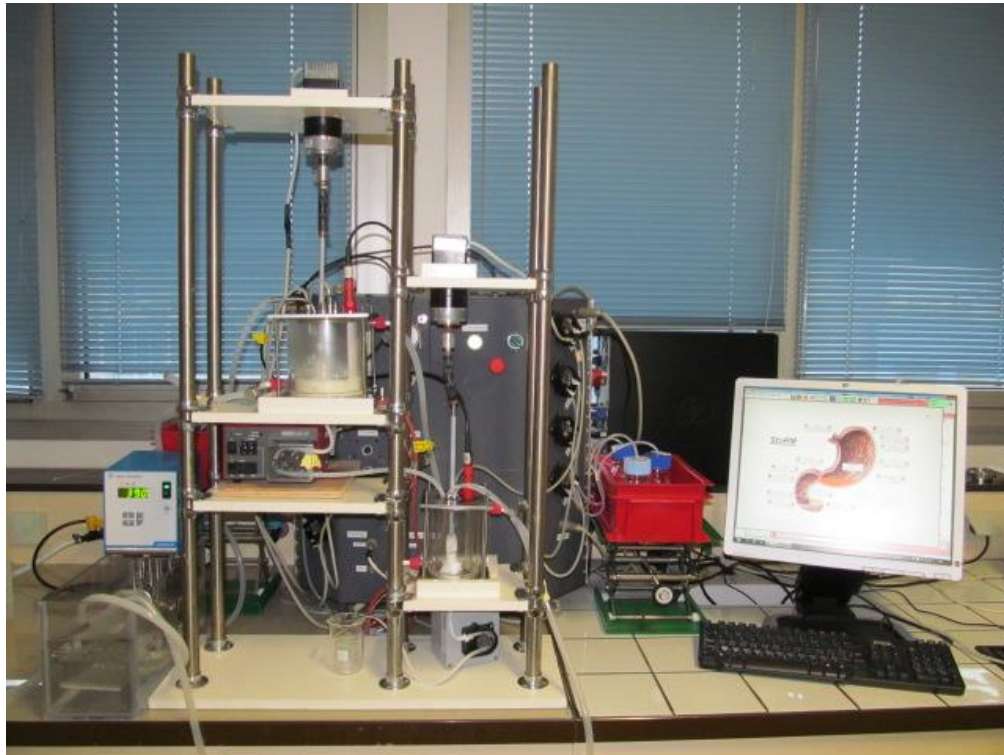
Les différences de structures lipoprotéiques impactent-elles l'hydrolyse enzymatique lors de la digestion ?

DIGESTION *IN VITRO* DES PPNs

Digestion *in vitro* par un digesteur dynamique (DIDGI®)
3 répétitions par PPN



DIDGI® simule la digestion (gastrique et intestinale) d'un nourrisson né à terme âgé de 4 semaines.
Modèle vérifié pour la digestion du nourrisson par des données *in vivo*
(De Oliveira, 2016; Ménard *et al.*, 2014)



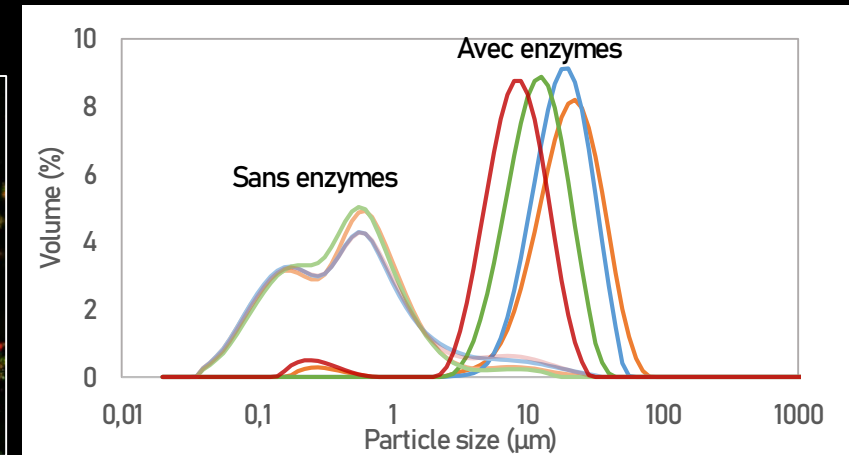
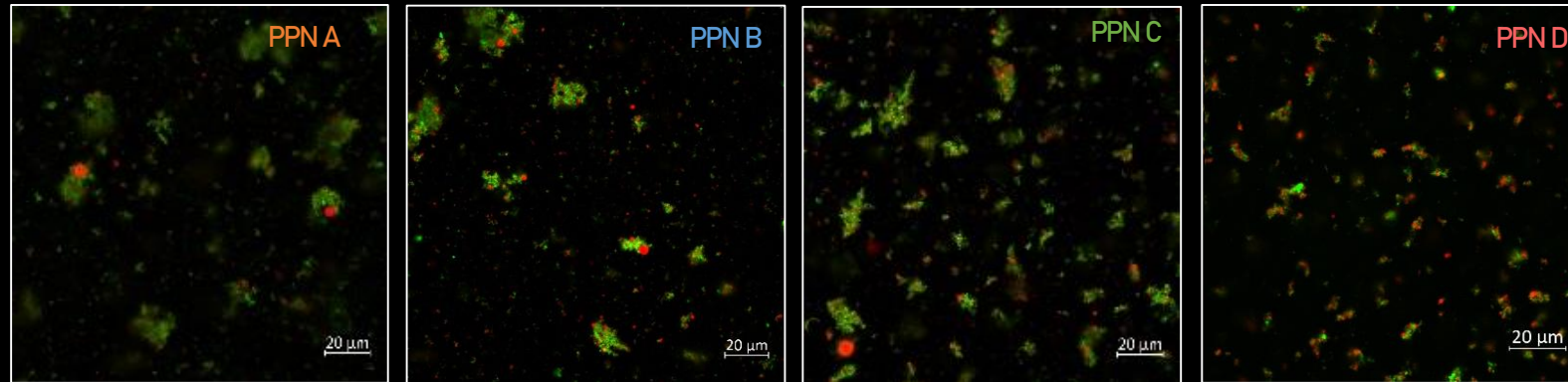
Analyses des digestas

- Structure (*microscopie confocale, granulométrie laser*)
- Protéolyse (*OPA / SDS-PAGE / LC-MS/MS*)
- Lipolyse (*GC-MS*)

STRUCTURE DES PPNs AU COURS DE LA DIGESTION

Protéines Matière grasse

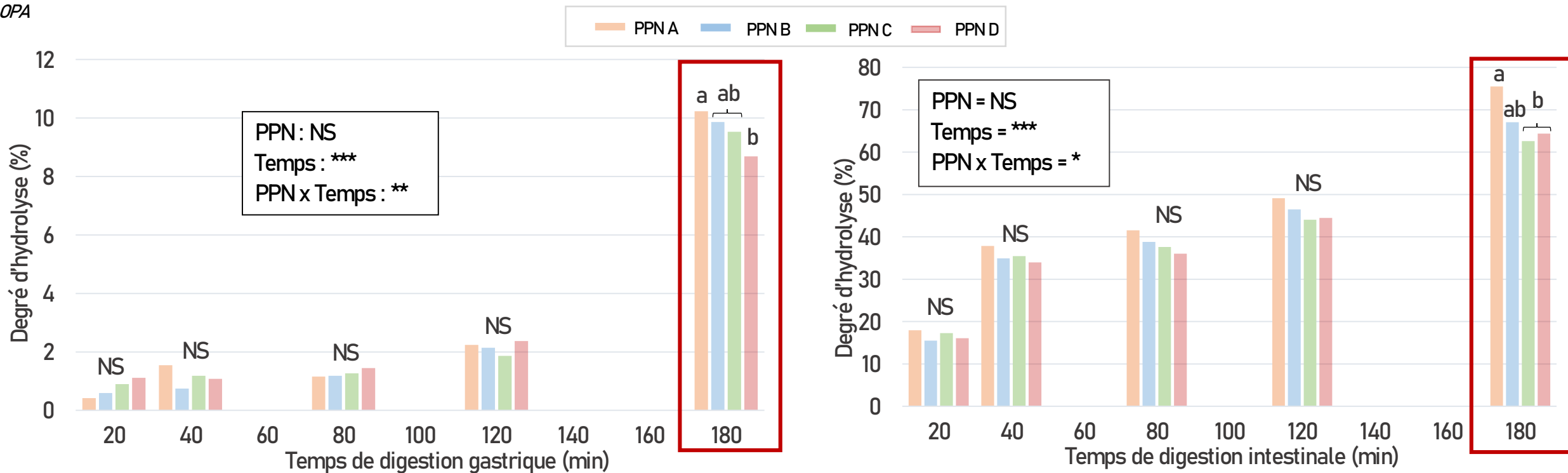
Phase gastrique 40 minutes, pH = 5,6



- Différences de structure à 40 min de phase gastrique qui sont uniquement dues à la protéolyse : hydrolyse de la caséine- κ par la pepsine = agrégation rapide des caséines et des gouttelettes de matière grasse qui étaient couvertes par les caséines
- PPN D (caséines modifiées) = agrégats plus petits liés à la différence de structure initiale de l'émulsion

PROTÉOLYSE GLOBALE

OPA



PPN A (structures lipoprotéiques étoilées, dénaturation globale supérieure) est plus hydrolysée que :

- PPN D en fin de phase gastrique et intestinale
 - PPN C en fin de phase intestinale
- } Sérum idéal

Macierzanka *et al.*, 2009 : l'adsorption de β LG ou β -caséine à l'interface de la MG augmente leur protéolyse en comparaison d'une forme « libre » dans la phase soluble

Halabi *et al.* 2022 : protéolyse augmentée pour des protéines agrégées à l'interface des caséines (modèle sans MG)

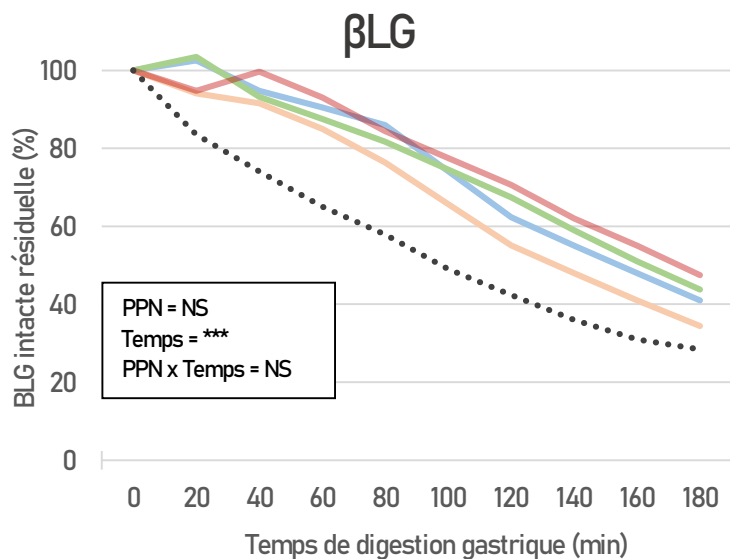


Structure étoilée (PPN A)
=
Degré d'hydrolyse plus important

PROTÉOLYSE DES PROTÉINES MAJORITAIRES

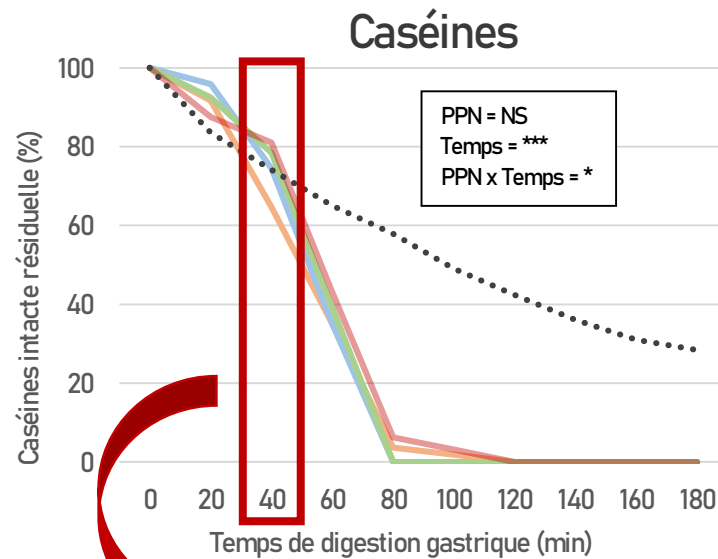
SDS-PAGE

PPN A PPN B PPN C PPN D % PPN dans le compartiment gastrique



Pas de différence significative entre les PPNs.

La diminution du % de BLG intacte est uniquement due à la dilution par les sécrétions et la vidange gastrique et non à la protéolyse

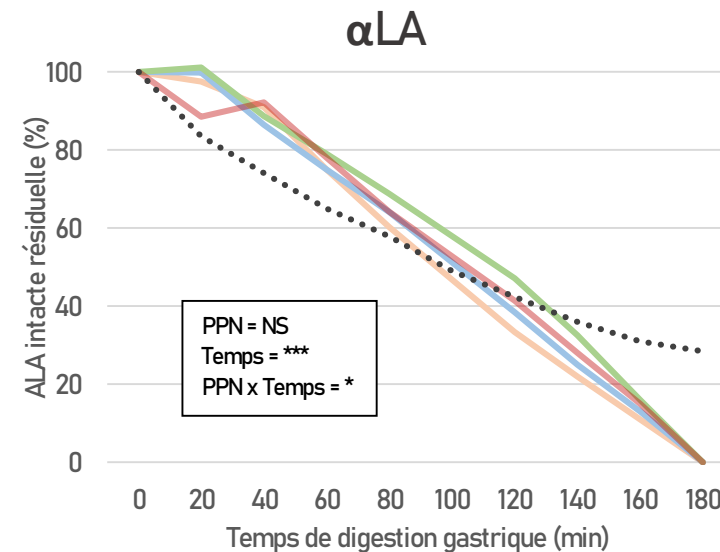


A 40 min de phase gastrique, la PPN A tend à avoir une hydrolyse de ses caséines supérieure à la PPN D

↓
lien

Structure à 40 min :

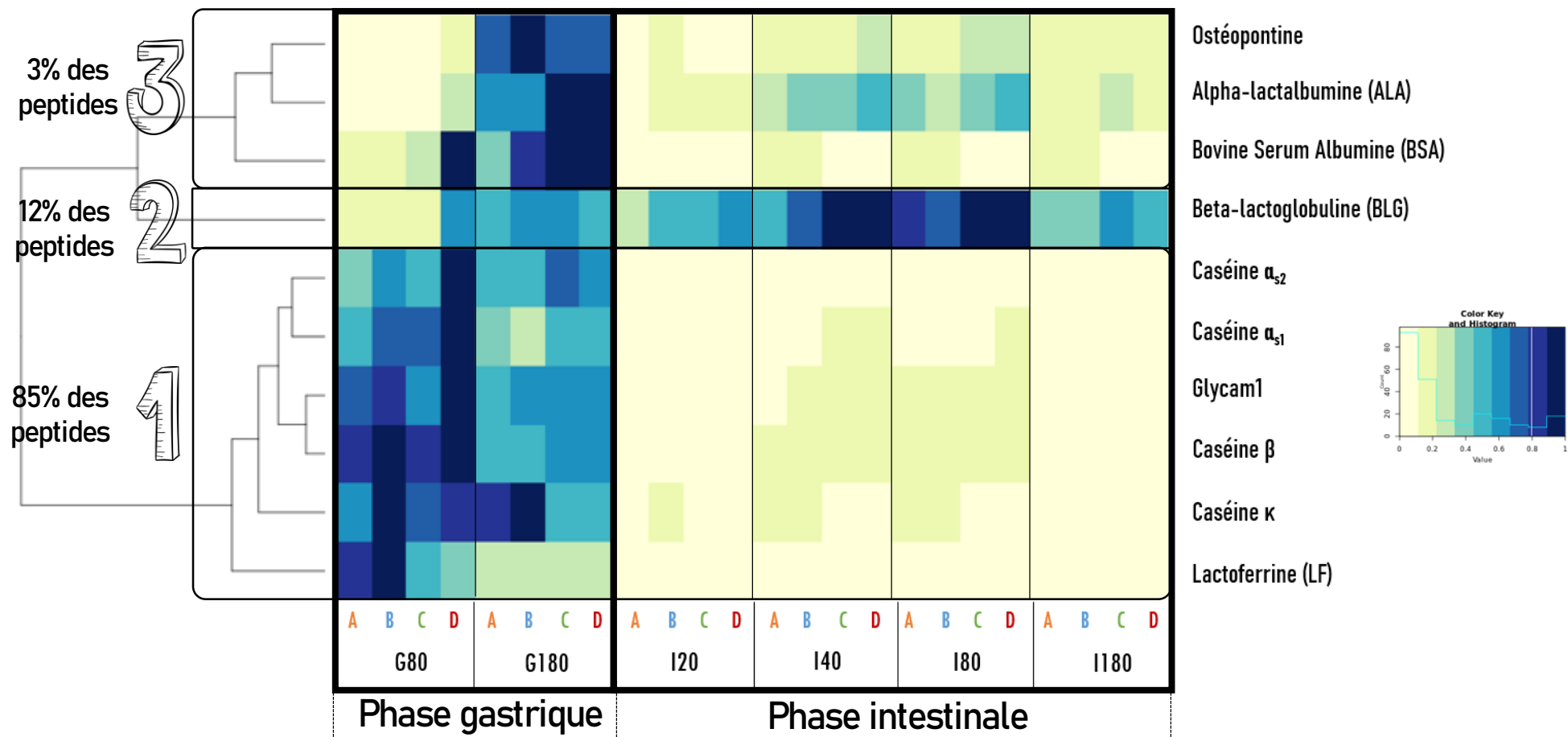
- PPN A = agrégation des caséines suite à l'hydrolyse de la caséine- κ par la pepsine
- PPN D = faible agrégation // structures lipoprotéiques particulières



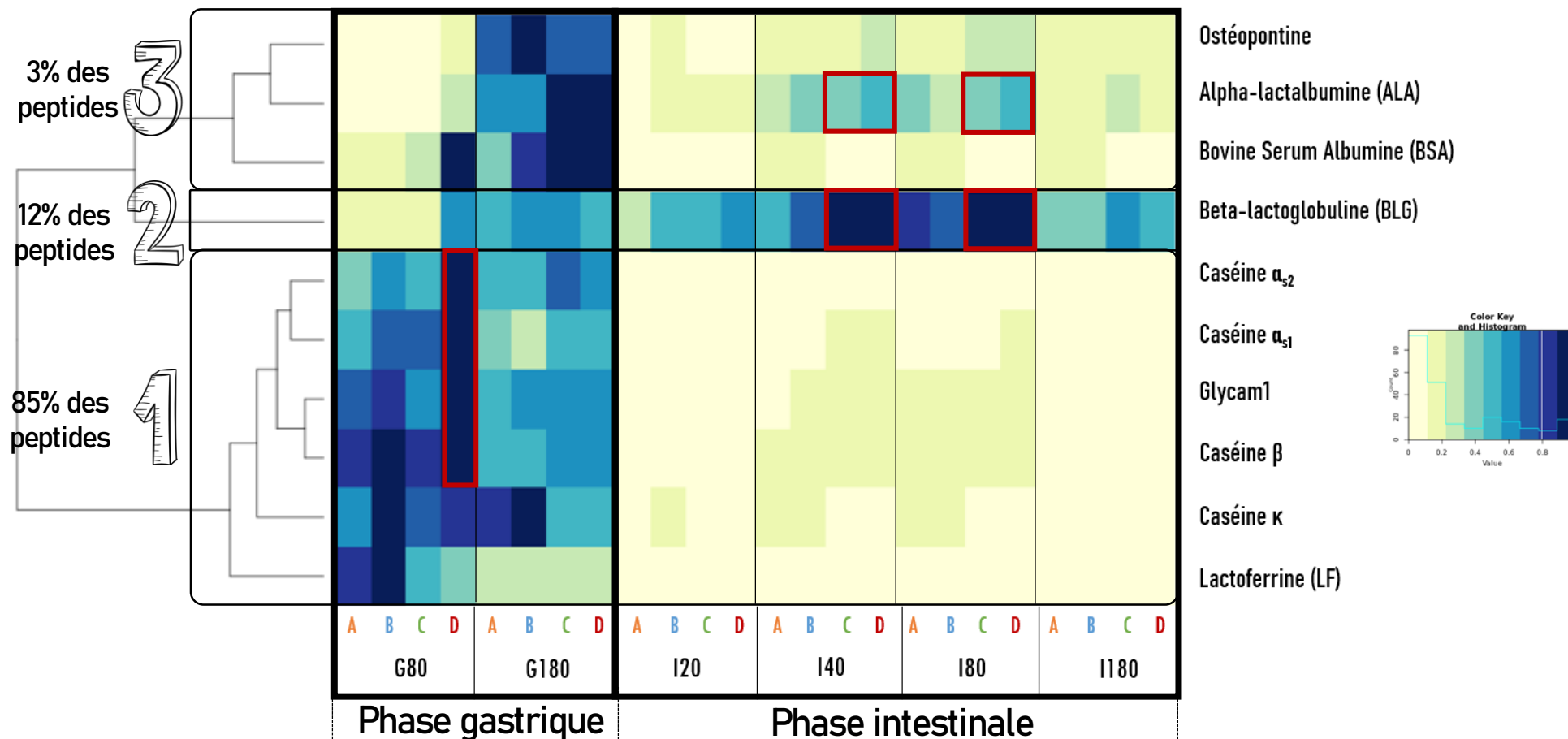
Pas de différence significative entre les PPNs

CINÉTIQUE DE RELARGAGE DES PEPTIDES

1061 peptides identifiés dont 96% sont communs aux 4 PPNs



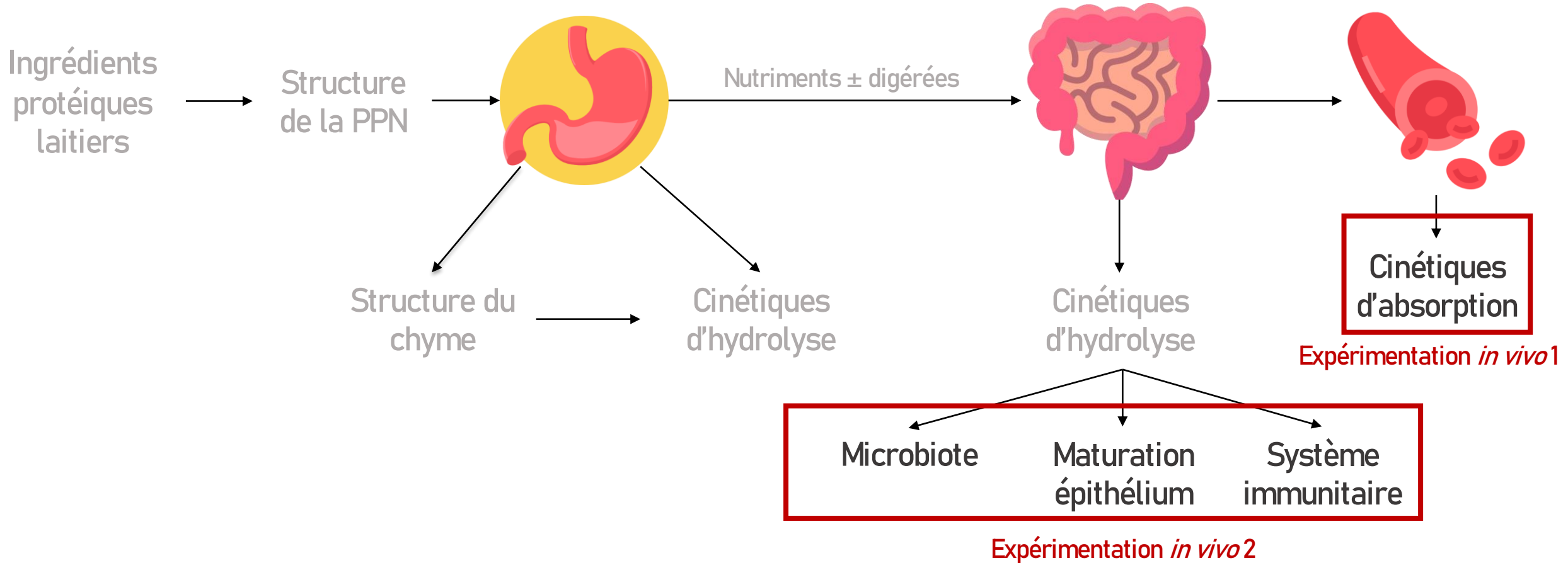
CINÉTIQUE DE RELARGAGE DES PEPTIDES



Différences de cinétiques de relargage entre les PPNs :

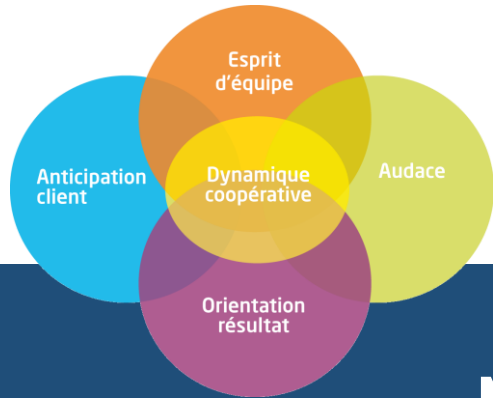
- Relargage plus abondant à G80 de peptides issus des caséines pour la PPN D par rapport aux autres PPNs --> Différence d'organisation supramoléculaire des caséines entre la PPN D et les autres PPNs.
- Peptides issus de l'ALA et BLG sont plus abondants et tardifs (phase intestinale) pour les PPNs C et D --> Concentrations plus élevées + structures natives sont plus résistantes à la protéolyse (31 et 29 % de dénaturation globale des protéines sériques)

CONCLUSION & PERSPECTIVES



Comment les différences de protéolyse se traduisent-elles au niveau plasmatique ?

Quels seront les impacts sur la physiologie digestive, le système immunitaire et le microbiote ?



MERCI POUR VOTRE ATTENTION



STLO

- Dupont, D., R. Boutrou, O. Ménard, J. Jardin, G. Tanguy, P. Schuck, B. B. Haab, et J. Leonil. 2010. « Heat Treatment of Milk During Powder Manufacture Increases Casein Resistance to Simulated Infant Digestion ». *Food Digestion* 1 (1): 28-39. <https://doi.org/10.1007/s13228-010-0003-0>.
- Halabi, A., T. Croguennec, O. Ménard, V. Briard-Bion, J. Jardin, Y. Le Gouar, M. Hennetier, S. Bouhallab, D. Dupont, et A. Deglaire. 2022. « Protein Structure in Model Infant Milk Formulas Impacts Their Kinetics of Hydrolysis under in Vitro Dynamic Digestion ». *Food Hydrocolloids* 126: 107368. <https://doi.org/10.1016/j.foodhyd.2021.107368>.
- Halabi, A., A. Deglaire, P. Hamon, S. Bouhallab, D. Dupont, et T. Croguennec. 2020. « Kinetics of Heat-Induced Denaturation of Proteins in Model Infant Milk Formulas as a Function of Whey Protein Composition ». *Food Chemistry* 302: 125296. <https://doi.org/10.1016/j.foodchem.2019.125296>.
- Halabi, A., A. Deglaire, M. Hennetier, F. Violleau, A. Burel, S. Bouhallab, D. Dupont, et T. Croguennec. 2020. « Structural Characterization of Heat-Induced Protein Aggregates in Model Infant Milk Formulas ». *Food Hydrocolloids* 107: 105928. <https://doi.org/10.1016/j.foodhyd.2020.105928>.
- Hales, C. N., et D. J. Barker. 1992. « Type 2 (Non-Insulin-Dependent) Diabetes Mellitus: The Thrifty Phenotype Hypothesis ». *Diabetologia* 35 (7): 595-601. <https://doi.org/10.1007/BF00400248>.
- Macierzanka, A., A. I. Sancho, E. N. C. Mills, N. M. Rigby, et A. R. Mackie. 2009. « Emulsification Alters Simulated Gastrointestinal Proteolysis of β -Casein and β -Lactoglobulin ». *Soft Matter* 5 (3): 538-50. <https://doi.org/10.1039/B811233A>.
- McMillen, I. C., et J. S. Robinson. 2005. « Developmental Origins of the Metabolic Syndrome: Prediction, Plasticity, and Programming ». *Physiological Reviews* 85 (2): 571-633. <https://doi.org/10.1152/physrev.00053.2003>.
- Ménard, O., T. Cattenoz, H. Guillemain, I. Souchon, A. Deglaire, D. Dupont, et D. Picque. 2014. « Validation of a New in Vitro Dynamic System to Simulate Infant Digestion ». *Food Chemistry* 145 (février): 1039-45. <https://doi.org/10.1016/j.foodchem.2013.09.036>.
- Nauta, A. J., K. Ben Amor, J. Knol, J. Garssen, et E. M. van der Beek. 2013. « Relevance of Pre- and Postnatal Nutrition to Development and Interplay between the Microbiota and Metabolic and Immune Systems ». *The American Journal of Clinical Nutrition* 98 (2): 586S-93S. <https://doi.org/10.3945/ajcn.112.039644>.
- Oliveira, S. de. 2016. « Impact de la pasteurisation et de l'homogénéisation sur la digestion du lait maternel chez le nouveau-né : Etudes in vitro et in vivo ». These de doctorat, Rennes, Agrocampus Ouest. <https://www.theses.fr/2016NSARB284>.
- Oliveira, S. de, A. Deglaire, O. Ménard, A. Bellanger, F. Rousseau, G. Henry, E. Dirson, F. Carrière, D. Dupont, et C. Bourlieu. 2016. « Holder Pasteurization Impacts the Proteolysis, Lipolysis and Disintegration of Human Milk under in Vitro Dynamic Term Newborn Digestion ». *Food Research International* 88 (octobre): 263-75. <https://doi.org/10.1016/j.foodres.2015.11.022>.
- Srinivasan, M., H. Singh, et P. A. Munro. 1996. « Sodium Caseinate-Stabilized Emulsions: Factors Affecting Coverage and Composition of Surface Proteins ». *Journal of Agricultural and Food Chemistry* 44 (12): 3807-11. <https://doi.org/10.1021/jf960135h>.
- Wang, X., A. Ye, Q. Lin, J. Han, et H. Singh. 2018. « Gastric Digestion of Milk Protein Ingredients: Study Using an in Vitro Dynamic Model ». *Journal of Dairy Science* 101 (8): 6842-52. <https://doi.org/10.3168/jds.2017-14284>.
- Ye, A., et H. Singh. 2001. « Interfacial Composition and Stability of Sodium Caseinate Emulsions as Influenced by Calcium Ions ». *Food Hydrocolloids* 15 (2): 195-207. [https://doi.org/10.1016/S0268-005X\(00\)00065-5](https://doi.org/10.1016/S0268-005X(00)00065-5).